

TADEUSZ CHMIELNIAK

Katedra Kotłów i Maszyn Ciepłych

USTALONY ROZKŁAD TEMPERATUR W GRUBOŚCIENNYCH
RURACH LEKKO ZAKRZYWIONYCH

Streszczenie. W pracy podano rozwiązanie ustalonego rozkładu temperatur w rurach grubościennych lekko zakrzywionych. Do analizy problemu wybrano metodę zaburzeń. Rozpatrzone rozwiązanie podstawowe i pierwsze przybliżenie dla dwu różnych układów geometrycznych oraz różnych warunków brzegowych.

1. Wstęp

W pracy rozpatrzono analityczne rozwiązanie ustalonego rozkładu temperatur w rurach grubościennych lekko zakrzywionych. Do rozwiązania problemu wybrano metodę zaburzeń parametru charakteryzującego stopień zakrzywienia rury. Tematyka pracy związana jest z problematyką poszukiwania ustalonych i nieustalonych pól temperatur w elementach złożonych. Problematyka ta od pewnego okresu jest przedmiotem zainteresowania Katedry Ciepłych Maszyn Wirnikowych w związku z badaniami nad rozkładem temperatur w elementach turbin ciepłych. Przedstawiony w pracy sposób określenia rozwiązania można bez trudu zastosować do każdego typu warunków brzegowych i do geometrycznie innych elementów (np. do prętów o przekroju prostokątnym).

2. Równania wyjściowe i metoda rozwiązania

Rozpatrzmy element składający się z trzech części (rys. 1). Część pierwszą i trzecią stanowi prosty odcinek wydrążonego walca. Przylegający do nich odcinek zakrzywiony niech stanowi część drugą II. Części I i II oraz II i III posiadają wspólne przekroje $a-a$ i zbudowane są z jednakowego materiału. Do określenia pola temperatur w części I i III elementu wykorzystamy współrzędne cylindryczne. W części II przyjmijmy natomiast współrzędne (rys. 1).

$$x = -r \sin \varphi$$

$$y = (e - r \cos \varphi) \cos \varphi \quad (\text{H}) \quad (1)$$

$$z = (e - r \cos \varphi) \sin \varphi \quad (\text{H})$$

Po tych założeniach równania opisujące ustalone pola temperatur w tak przyjętych częściach rozpatrywanego elementu będą miały postać:

Część I, III

$$\frac{\partial^2 T_1}{\partial \alpha^2} + \frac{1}{\alpha} \frac{\partial T_1}{\partial \alpha} + \frac{1}{\alpha^2} \frac{\partial^2 T_1}{\partial \varphi^2} + \frac{\partial^2 T_1}{\partial \beta^2} = 0 \quad (2)$$

Część II

$$\begin{aligned} & \frac{\partial^2 T_2}{\partial \alpha^2} + \frac{1}{\alpha} \frac{\partial T_2}{\partial \alpha} + \frac{1}{\alpha^2} \frac{\partial^2 T_2}{\partial \varphi^2} + \frac{1}{(1 - \epsilon \cos \varphi)^2} \frac{\partial^2 T_2}{\partial \beta^2} + \\ & + \frac{1}{\alpha} \frac{\epsilon \sin \varphi}{1 - \epsilon \cos \varphi} \frac{\partial T_2}{\partial \varphi} - \frac{\epsilon \cos \varphi}{(1 - \epsilon \cos \varphi)} \frac{\partial T_2}{\partial \alpha} = 0 \end{aligned} \quad (3)$$

W dalszym ciągu pracy zakładać będziemy pełną symetrię kształtu elementu i warunków brzegowych względem przekroju $\varphi = 0$. W konsekwencji tego założenia wystarczy rozpatryć jedynie pola temperatur w części I i II. W części III elementu bowiem, rozkład temperatur będzie analogiczny jak w części I.

Rozwiązań równań (2) i (3) poszukiwać będziemy dla warunków:

$$\beta_1 = 0; \quad T_1 = \varphi(\alpha) \quad (4)$$

$$\beta_1 = \beta_{10}, \quad \beta_2 = -\beta_{20}; \quad T_1 = T_2, \quad \frac{\partial T_1}{\partial \beta_1} = \frac{\partial T_2}{\partial \beta_2} \frac{1}{1 - \alpha \beta \cos \varphi} \quad (5)$$

$$\beta_2 = 0; \quad \frac{\partial T_2}{\partial \beta_2} = 0 \quad (6)$$

$$\alpha = 1; \quad \frac{\partial T_p}{\partial \alpha} + Bi_1 [T_{c1} - T_p] = 0 \quad (7)$$

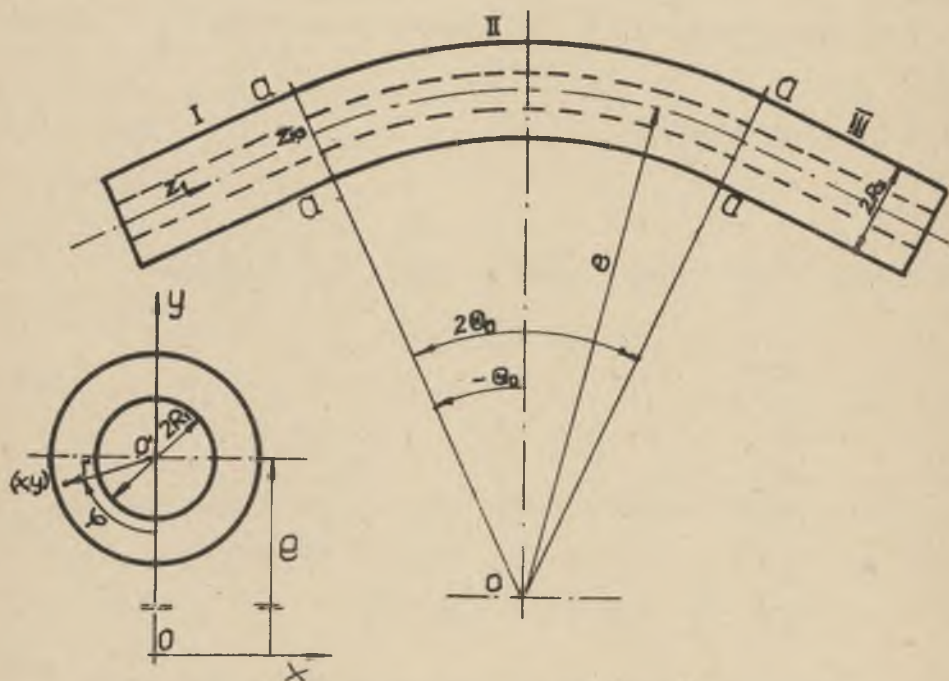
$p = 1, 2$

$$\alpha = k; \quad -\frac{\partial T_p}{\partial \alpha} + \frac{1}{k} Bi_2 [T_{c2} - T_p] = 0$$

W równaniach (2), (3) oraz w warunkach (4÷7) oznaczono: T_p - wartość temperatur, $\alpha = r/R_1$, $\beta_1 = z/R_2$, $\beta_2 = \frac{\varphi \cdot e}{R_2}$ - współrzędne, $\varphi(\alpha)$ - dana funkcja spełniająca założenia gwarantujące zbieżność jej szeregu Fouriera-Bessela [1], Bi - liczba Biota, T_{ci} - temperatura otoczenia, $\varepsilon = R_2/e$, $k = R_2/R_1$, p - wskazuje ilość stref. Pozostałe oznaczenia jak na rys. 1.

Równanie opisujące ustalone pole temperatur w części II elementu zapisane w postaci (3) posiada współczynniki zależne od φ , α i parametru ε , który określa stopień zakrzywienia rury II. Ze względu na to, że próby otrzymania dokładnego rozwiąza-

nia równań (2), (3) z warunkami (4÷7) napotykają na ogromne trudności w dalszym ciągu zajmiemy się jego poszukiwaniem dla $\varepsilon \ll 1$, czyli rozpatrywać będziemy przypadki małych zakrzywień rury stanowiącej część II elementu.



Rys. 1. Rura grubościenna. Układy współrzędnych

Do skonstruowania rozwiązania zagadnienia brzegowego (2-7) dla małych wartości ε wykorzystamy metodę zaburzeń [3,4]. Szukane wartości temperatur w myśl tej metody przedstawimy w postaci szeregu

$$T_p = T_{op} + \varepsilon T_{1p} + \varepsilon^2 T_{2p} + \dots \quad (8)$$

Nieznane funkcje T_{op} , T_{1p} ... określają równania różniczkowe i warunki brzegowe otrzymane przez podstawienie wyrażenia (8)

do równań (2), (3), warunków (4÷7) i następnie porównanie wyrażań przy tych samych potęgach ε . W naszym przypadku skoncentrujemy się na wyznaczeniu wartości T_{op} i T_{1p} . Zagadnienia brzegowe dla ich wyznaczenia mają postać:

$$\nabla_I^2 T_{op} = 0 \quad p = 1, 2 \quad (9)$$

$$\beta_1 = 0; \quad T_{01} = \varphi(\alpha) \quad a)$$

$$\beta_1 = \beta_{10}, \quad \beta_2 = -\beta_{20}; \quad T_{01} = T_{02}, \quad \frac{\partial T_{01}}{\partial \beta_1} = \frac{\partial T_{02}}{\partial \beta_2} \quad b)$$

$$\beta_2 = 0, \quad \frac{\partial T_{02}}{\partial \beta_2} = 0 \quad c) \quad (10)$$

$$\alpha = 1; \quad \frac{\partial T_{op}}{\partial \alpha} + Bi_1 (T_{c1} - T_{op}) = 0 \quad p = 1, 2 \quad d)$$

$$\alpha = k; \quad -\frac{\partial T_{op}}{\partial \alpha} + 1/k Bi_2 (T_{c2} - T_{op}) = 0 \quad p=1, 2$$

$$\nabla_{II}^2 T_{11} = 0 \quad (11)$$

$$\nabla_{II}^2 T_{12} = \cos \varphi \frac{\partial T_{02}}{\partial \alpha} - 1/\alpha \sin \alpha \frac{\partial T_{02}}{\partial \varphi} - 2 \alpha \cos \varphi \frac{\partial^2 T_{02}}{\partial \beta_2^2} \quad (12)$$

$$\beta_1 = 0; \quad T_{11} = 0 \quad e)$$

$$\beta_1 = \beta_{10}, \quad \beta_2 = -\beta_{20}; \quad T_{11} = T_{12}, \quad \frac{\partial T_{11}}{\partial \beta_1} = \frac{\partial T_{02}}{\partial \beta_2} \alpha \cos \varphi + \frac{\partial T_{12}}{\partial \beta_2}$$

f)

$$\beta_2 = 0; \quad \frac{\partial T_{12}}{\partial \beta_2} = 0 \quad \text{g) (13)}$$

$$\alpha = 1; \quad \frac{\partial T_{1p}}{\partial \alpha} + Bi_1 T_{1p} = 0 \quad p = 1, 2 \quad \text{h)}$$

$$\alpha = k; \quad \frac{\partial T_{1p}}{\partial \alpha} + 1/k Bi_2 T_{1p} = 0 \quad p = 1, 2$$

gdzie:

$$\nabla_I^2 = \frac{\partial^2}{\partial \alpha^2} + 1/\alpha \frac{\partial}{\partial \alpha} + \frac{\partial^2}{\partial \beta_p^2}$$

$$\nabla_{II}^2 = \nabla_I^2 + 1/\alpha^2 \frac{\partial^2}{\partial \varphi^2}$$

3. Rozwiązanie równań (3) z warunkami brzegowymi (10)

Eliminując z równania (9) współrzędną α przy pomocy skończonej transformacji Hankela [2] o jądrze postaci:

$$U_n = \left[Y_0(\mu_{m0}) + \frac{\mu_{m0}}{Bi_1} Y_1(\mu_{m0}) \right] J_n(\mu_{mn}\alpha) + \quad (14)$$

$$- \left[J_0(\mu_{m0}) + \frac{\mu_{m0}}{Bi_1} J_1(\mu_{m0}) \right] Y_n(\mu_{mn}\alpha), \quad n = 0$$

gdzie: J_n i Y_n są funkcjami Bessela pierwszego i drugiego rodzaju o wskaźnikach całkowitych nieujemnych, μ_{m0} są po uwzględnieniu warunków (10 d) pierwiastkami równania (15) dla $n = 0$

$$\frac{U_n(k\beta)}{U_n'(k\beta)} = - \frac{\beta}{\alpha^2/\alpha_1 Bi_1} \quad (15)$$

otrzymujemy do wyznaczenia przetransformowanej wielkości T_{op} zwyczajne równanie różniczkowe

$$\frac{d^2 \bar{T}'_{op}}{d\beta_p^2} - \mu_{mo}^2 \bar{T}'_{op} = 0 \quad (16)$$

w którym

$$\bar{T}'_{op} = \bar{T}_{op} + R_1^2 / \mu_{mo}^2 [2/\pi T_{c1} - U_o (\mu_{mo} k) Bi_2 T_{c2}] \quad (17)$$

Rozwiązaniem równania (16) jest każda liniowa kombinacja funkcji $\exp\{\pm \mu_{mo} \beta_p\}$. Można więc zapisać go po uwzględnieniu (17) w postaci:

$$\bar{T}_{op} = A_{mp} \cosh \mu_{mo} \beta_p + B_{mn} \sinh \mu_{mo} \beta_p - \xi / \mu_{mo}^2 \quad (18)$$

gdzie przez ξ oznaczono

$$\xi = R_1^2 [2/\pi T_{c1} - U_o (\mu_{mo} k) Bi_2 T_{c2}]$$

Z warunków (10) z łatwością znajdujemy dla A_{mp} i B_{mp}

$$A_{m1} = \psi(\mu_{mo}) + \xi / \mu_{mo}^2 \quad (19)$$

$$A_{m2} = [\psi(\mu_{mo}) + \xi / \mu_{mo}^2] : \cosh \mu_{mo} (\beta_{20} + \beta_{10}) \quad (20)$$

$$B_{m1} = -[\psi(\mu_{mo}) + \xi / \mu_{mo}^2] \operatorname{tgh} \mu_{mo} (\beta_{20} + \beta_{10}) \quad (21)$$

$$B_{m2} = 0 \quad (22)$$

przy czym

$$\psi(\mu_{m0}) = \int_{R_1}^{R_2} r \varphi(r) U_0(\mu_{m0} \alpha) d\alpha$$

Wykorzystując formułę odwracania dla skończonej transformacji Hankela [2], otrzymujemy ostatecznie dla T_{op} wyrażenie

$$T_{op} = \sum_{m=1}^{\infty} \frac{U_0(\mu_{m0} \alpha)}{Z_{m0}} \left[A_{mp} \cosh \mu_{m0} \beta_p + B_{mp} \sinh \mu_{m0} \beta_p - \xi / \mu_{m0}^2 \right] \quad (23)$$

Z_{m0} w równaniu (23) oznacza normę funkcji $U_0(\mu_{m0} \alpha)$ i równa się wyrażeniu (24) dla $n = 0$.

$$Z_{mn}(\mu_{mn}) = \frac{R_2^2}{2} \frac{U_n^2(\mu_{mnk})}{\mu_{mn}^2} \left[\left(\frac{\alpha_2}{\alpha_1} \right)^2 Bi_1^2 + \frac{\mu_{mn}^2 k^2 - n^2}{k^2} \right] +$$

$$- \frac{R_1^2}{2} \frac{U_n^2(\mu_{mn})}{\mu_{mn}^2} \left[Bi_1^2 + \mu_{mn}^2 - n^2 \right] \quad (24)$$

Dla $n = 0$ wyrażenie to po uwzględnieniu równania charakterystycznego (15) daje się wyrazić przez:

$$Z_{m0}(\mu_{m0}) = \frac{2 R_1^2}{\pi^2 Bi_1^2 \mu_{m0}^2} \left\{ \frac{\left[J_0(\mu_{m0}) + \frac{\mu_{m0}}{Bi_1} J_1(\mu_{m0}) \right]^2 \left(\frac{\alpha_2}{\alpha_1} \right)^2 Bi_1^2 + \mu_{m0}^2}{\left[\frac{\alpha_2}{\alpha_1} J_0(\mu_{m0k}) - J_1(\mu_{m0k}) \frac{\mu_{m0}}{Bi_1} \right]^2} +$$

$$- (Bi_1^2 + \mu_{m0}^2) \right\}$$

Funkcje (23) będące rozwiązaniami (9) nazwać można podobnie jak to czyni się np. w mechanice płynów [4] rozwiązaniami podstawowymi. Stanowią one rozwiązanie zagadnienia rozkładu temperatur w rurach prostych dla warunków (10). Dla pewnych szczególnych warunków brzegowych rozwiązania te mogą być trywialnymi. Jest tak np. w przypadku izolowania rury od zewnątrz i wewnątrz i utrzymywania jej końców w równych temperaturach.

4. Rozwiązanie równań (11) i (12) z warunkami (13)

Przed przystąpieniem do rozwiązywania rozpatrywanych równań należy ustalić w oparciu o rozwiązanie (23) ostateczną postać równania (12). W tym celu podstawimy (23) do (12). Po wykonaniu działań otrzymamy:

$$\begin{aligned} \nabla_{II}^2 T_{12} = & -2\alpha \cos \varphi \sum_{m=1}^{\infty} A'_{m2} \cosh \mu_{m0} \beta_2 U_0(\mu_{m0} \alpha) + \\ & - \cos \varphi \sum_{m=1}^{\infty} A''_{m2} \cosh \mu_{m0} \beta_2 U_1(\mu_{m0} \alpha) \end{aligned} \quad (25)$$

gdzie:

$$A'_{m2} = \frac{\mu_{m0}^2 A_{m2}}{Z_{m0}} \quad A''_{m2} = \frac{\mu_{m0} A_{m2}}{Z_{m0}} \quad (26)$$

Ogólne rozwiązanie równania (11) po zastosowaniu skończonych transformacji Hankela i cosinusów może być przedstawione w postaci

$$T_{11} = \sum_{m=1}^{\infty} \sum_{n=0}^{\infty} (C_{mn} \cosh \mu_{mn} \beta_1 + D_{mn} \sinh \mu_{mn} \beta_1) U_n(\mu_{mn} \alpha) \cos n \varphi \quad (27)$$

gdzie C_{mn} i D_{mn} są stałymi zależnymi od wartości μ_{mn} , które są pierwiastkami równania (15) dla dowolnych n .

Rozwiązanie równania (25) wygodnie jest przedstawić w postaci sumy całki szczególnej (T'_{12}) tego równania i całki ogólnej (T''_{12}) odpowiadającego mu równania jednorodnego.

$$T_{12} = T'_{12} + T''_{12} \quad (28)$$

Całkę szczególną T'_{12} równania (24) można przedstawić formułą

$$T'_{12} = \cos \varphi \sum_{m=1}^{\infty} \sum_{r=1}^{\infty} G_{mr} \cosh(\mu_{m0} \beta_2) U_1(\mu_{r1} \alpha) \quad (29)$$

Występujące w (29) wielkości μ_{r1} są pierwiastkami równania (15) dla $n = 1$. Po podstawieniu (29) do (25) otrzymujemy do wyznaczenia G_{mr} równość

$$\sum_{r=1}^{\infty} G_{mr} (\mu_{m0}^2 - \mu_{r1}^2) U_1(\mu_{r1} \alpha) = -[2\alpha A'_{m2} U_0(\mu_{m0} \alpha) + A''_{m2} U_1(\mu_{m0} \alpha)] \quad (30)$$

z której po wykorzystaniu ortogonalnych własności funkcji Bessela otrzymujemy:

$$G_{mr} = \frac{-2 A'_{m2} L_1 - A''_{m2} L_2}{(\mu_{m0}^2 - \mu_{r1}^2) Z_{1r}} \quad (31)$$

gdzie:

$$L_1 = \int_0^1 \alpha U_0(\mu_{m0} \alpha) U_1(\mu_{r1} \alpha) d\alpha \quad (32)$$

$$L_2 = \int_0^1 \alpha U_1(\mu_{m0}\alpha) U_1(\mu_{r1}\alpha) d\alpha \quad (32)$$

Z_{r1} - norma funkcji $U_1(\mu_{r1}\alpha)$ obliczona z (24) dla $n = 1$.

Całkę ogólną T_{12} ze względu na formalne podobieństwo równania (11) i równania jednorodnego odpowiadającego równaniu (25) przedstawimy w tej samej postaci co (27)

$$T_{12}'' = \sum_{m=1}^{\infty} \sum_{n=0}^{\infty} (E_{mn} \cosh \mu_{mn} \beta_2 + F_{mn} \sinh \mu_{mn} \beta_2) U_n(\mu_{mn}\alpha) \cos n\varphi \quad (33)$$

Dla konstrukcji ostatecznego rozwiązania koniecznym jest określenie w oparciu o warunki (13e,f,g) stałych: C_{mn} , D_{mn} , E_{mn} , F_{mn} .

Z warunków (13) po wykorzystaniu ortogonalnych własności $U_s(\mu_{ts}\alpha)$ i $\cos(s\varphi)$ wynikają następujące równości:

z (13e):

$$C_{ts} = 0 \quad (34)$$

z (f) i (g)

$s \neq 1, t \geq 1$

$$D_{ts} \sinh \mu_{ts} \beta_{10} = E_{ts} \cosh \mu_{ts} \beta_{20} + F_{ts} \sinh \mu_{ts} \beta_{20} \quad (35)$$

$$D_{ts} \cosh \mu_{ts} \beta_{10} = -E_{ts} \sinh \mu_{ts} \beta_{20} + F_{ts} \cosh \mu_{ts} \beta_{20} \quad (36)$$

$$F_{ts} = 0 \quad (37)$$

$$\underline{s = 1, t \geq 1}$$

$$D_{t1} \sinh \mu_{t1} \beta_{10} = E_{t1} \cosh \mu_{t1} \beta_{20} + F_{t1} \sinh \mu_{t1} \beta_{20} + \quad (38)$$

$$+ \sum_{m=1}^{\infty} G_{mt} \cosh \mu_{mo} \beta_{20}$$

$$D_{t1} \cosh \mu_{t1} \beta_{10} + E_{t1} \sinh \mu_{t1} \beta_{20} - F_{t1} \cosh \mu_{t1} \beta_{20} =$$

$$= -1/2 \mu_{t1} \sum_{m=1}^{\infty} A''_{m2} \sinh \mu_{mo} \beta_{20} \int_0^1 \alpha^2 U_0(\mu_{mo} \alpha) U_1(\mu_{t1} \alpha) d\alpha +$$

$$+ 1/\mu_{t1} \sum_{m=1}^{\infty} G_{mt} \mu_{mo} \sinh \mu_{mo} \beta_{20} \quad (39)$$

$$F_{t1} = 0 \quad (40)$$

Z równań (35), (36), (37) łatwo stwierdzić, że:

$$D_{ts} = E_{ts} = F_{ts} = 0 \quad s \neq 1$$

Natomiast dla stałych D_{t1} , E_{t1} otrzymujemy po rozwiązaniu układu równań (38), (39), (40) wyrażenia (w wyprowadzonych związkach odpowiednio zmieniono wskaźniki):

$$D_{m1} = \frac{1}{\cosh \mu_{m1} (\beta_{10} + \beta_{20})} \sum_{n=1}^{\infty} \left\{ G_{nm} \cosh \mu_{no} \beta_{20} [\sinh \mu_{m1} \beta_{20} -$$

(41)

$$- \frac{\mu_{no}}{\mu_{m1}} \operatorname{tgh} \mu_{no} \beta_{20} \cosh \mu_{m1} \beta_{20} \left. \right] + \frac{I_{nm}}{2 \mu_{m1} \mu_{m1}} \cosh \mu_{m1} \beta_{20} \left. \right\} \quad (41)$$

$$E_{m1} = \frac{1}{\cosh \mu_{m1} (\beta_{10} + \beta_{20})} \sum_{n=1}^{\infty} \left\{ G_{nm} \cosh \mu_{no} \beta_{20} \left[- \cosh \mu_{m1} \beta_{10} + \right. \right. \\ \left. \left. + \frac{\mu_{no}}{\mu_{m1}} \operatorname{tgh} \mu_{no} \beta_{20} \cosh \mu_{m1} \beta_{10} \right] + \frac{I_{nm}}{2 \mu_{m1} \mu_{m1}} \sinh \mu_{m1} \beta_{10} \right\} \quad (42)$$

gdzie:

$$I_{nm} = - \sum_{n=1}^{\infty} A'_{n2} \sinh \mu_{no} \beta_{20} \int_0^1 \alpha^2 U_0(\mu_{no} \alpha) U_1(\mu_{m1} \alpha) d\alpha \quad (43)$$

Po wprowadzeniu wielkości (34), (40), (41), (42) do związków (27), (28) otrzymujemy ostateczną formę szukanych rozwiązań dla T_{1p} , $p = 1, 2$.

Wielkości T_{1p} zgodnie z panującą w teorii zaburzeń nomenklaturą nazywamy pierwszym przybliżeniem lub rozwiązaniem pierwszego rzędu.

W naszym przypadku założono, że rozpatrywane będą tylko rozwiązania T_{op} i T_{1p} . Niemniej jednak istnieje możliwość znalezienia dalszych rozwiązań, posługując się przy tym podobnym do przedstawionego w tej pracy aparatem matematycznym.

5. Ustalony rozkład temperatur w elemencie rurowym niesymetrycznym (rys. 2)

Zagadnienie ustalonego rozkładu temperatur w elemencie podanym na rys. 2 rozwiązano dla warunków brzegowych:

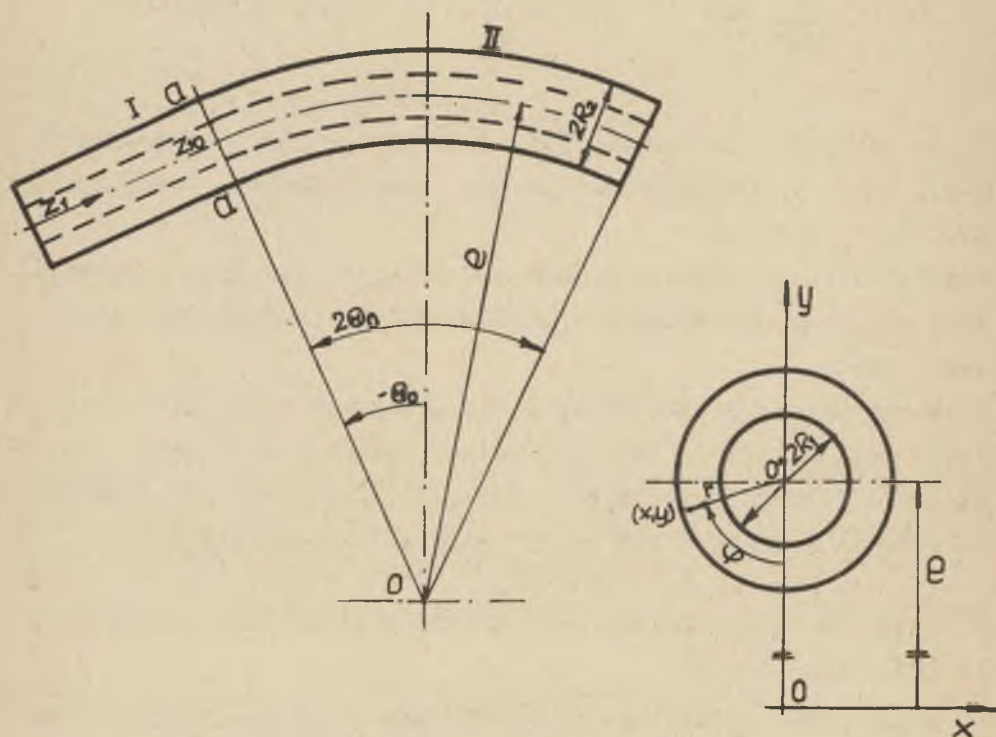
$$\beta_1 = 0; \quad T_1 = \varphi_1(\alpha) \quad (44)$$

$$\beta_1 = \beta_{10}, \quad \beta_2 = -\beta_{20}; \quad T_1 = T_2, \quad \frac{\partial T_1}{\partial \beta_1} = \frac{\partial T_2}{\partial \beta_2} \frac{1}{1 - \alpha \varepsilon \cos \varphi} \quad (45)$$

$$\beta_2 = \beta_{20}; \quad T_2 = \varphi_2(\alpha) \quad (46)$$

$$\alpha = 1; \quad T_p = T_c \quad p = 1, 2 \quad (47)$$

$$\alpha = k; \quad \frac{\partial T}{\partial r} = 0$$



Rys. 2. Rura grubościenna. Układy współrzędnych

Ponieważ tok postępowania przy znajdowaniu rozwiązania tego przypadku jest analogiczny jak w punktach poprzednich, w dalszym ciągu pominiemy wyprowadzenia, podając tylko rezultaty końcowe.

Przyjmując to samo co poprzednio oznaczenia, rozwiązania podstawowe, obecnie rozpatrywanego problemu zapiszemy w postaci:

$$\theta_{op} = \frac{T_{op} - T_c}{T_c} = \sum_{m=1} U_o(\mu_{mo}\alpha) \frac{U_o(\mu_{mo}\alpha)}{Z_{mo}} (A_{mp} \cosh \mu_{mo} \beta_p + B_{mp} \sinh \mu_{mo} \beta_p) \quad (48)$$

Przy czym: Z_{mo} równa się Z_{mn} dla $n = 0$

$$Z_{mn} = \frac{2 R_1^2}{\pi^2 \mu_{mn}} J_o^2(\mu_{mo}) \left\{ \frac{\left[1 - \frac{n^2}{\mu_{mn}^2 k^2} \right] J_n^2(\mu_{mn}) - [J_n'(\mu_{mnk})]^2}{[J_n'(\mu_{mnk})]^2 J_n^2(\mu_{mn})} \right\} \quad (49)$$

a μ_{mn} określone są przez równania (50) dla $n = 0$

$$U_n'(\mu_{mn} R_2) = 0, \quad U_n(\mu_{mn} R_1) = 0 \quad (50)$$

Formuły dla stałych A_{mp} i B_{mp} podają związki (51).

$$A_{m1} = \psi_1(\mu_{mo})$$

$$A_{m2} = \frac{\psi_1(\mu_{mo}) \sinh \mu_{mo} \beta_{20} + \psi_2(\mu_{mo})}{\sinh \mu_{mo} (\beta_{10} + 2\beta_{20})}$$

$$B_{m1} = \frac{\psi_2(\mu_{mo}) - \psi_1(\mu_{mo}) \cosh \mu_{mo} (\beta_{10} + \beta_{20})}{\sinh \mu_{mo} (\beta_{10} + 2\beta_{20})} \quad (51)$$

$$B_{m2} = \frac{\psi_1(\mu_{m0}) \sinh \mu_{m0} \beta_{20} \cosh \mu_{m0} \beta_{20} + \psi_2(\mu_{m0}) \left[\sinh \mu_{m0} (\beta_{10} + \beta_{20}) - \cosh \mu_{m0} \beta_{20} \right]}{\sinh \mu_{m0} \beta_{20} \sin \mu_{m0} (\beta_{10} + 2\beta_{20})} \quad (51)$$

gdzie:

$$\psi_i = R_1^2 \int_1^k \alpha U_0(\mu_{m0} \alpha) \frac{\varphi_i(\alpha) - T_c}{T_c} d\alpha$$

Rozwiązania rzędu pierwszego mają postać:

$$T_{11} = \cos \varphi \sum_{m=1}^{\infty} D_{m1} \sinh \mu_{m1} \beta_1 U_1(\mu_{m1} \alpha) \quad (52)$$

$$T_{12} = \cos \varphi \left\{ \sum_{m=1}^{\infty} (E_{m1} \cosh \mu_{m1} \beta_2 + F_{m1} \sinh \mu_{m1} \beta_2) U_1(\mu_{m1} \alpha) + \right. \quad (53)$$

$$\left. + \sum_{m=1}^{\infty} \sum_{n=1}^{\infty} (G_{mn} \cosh \mu_{m0} \beta_2 + H_{mn} \sinh \mu_{m0} \beta_2) U_1(\mu_{m1} \alpha) \right\}$$

Stale D_{m1} , E_{m1} , F_{m1} , G_{mn} , H_{mn} dane są formułami:

$$D_{m1} = \frac{1}{\sinh \mu_{m1} (\beta_{10} + 2\beta_{20})} \left\{ \sum_{n=1}^{\infty} G_{mn} \cosh \mu_{n0} \beta_{20} \left[\cosh \mu_{m1} 2\beta_{20} + \right. \right.$$

$$\left. - \frac{\mu_{n0}}{\mu_{m1}} \operatorname{tgh} \mu_{n0} \beta_{20} \sinh \mu_{m1} 2\beta_{20} - 1 \right] - \sum_{n=1}^{\infty} H_{mn} \sinh \mu_{n0} \beta_{20} \times$$

(54)

$$\begin{aligned}
 & \times \left[\cosh \mu_{m1} 2\beta_{20} - \frac{\mu_{no}}{\mu_{m1}} \operatorname{ctgh} \mu_{no} \beta_{20} \sinh \mu_{m1} 2\beta_{20} + 1 \right] + \\
 & + 1/Z_{m1} \mu_{m1} I_{nm} \sinh \mu_{m1} 2\beta_{20} \} \quad (54)
 \end{aligned}$$

$$\begin{aligned}
 E_{m1} &= \frac{1}{\sinh \mu_{m1} (\beta_{10} + 2\beta_{20})} \left\{ \sum_{n=1}^{\infty} G_{mn} \cosh \mu_{no} \beta_{20} \right. \\
 & \left[\sinh \mu_{m1} \beta_{20} \sinh \mu_{m1} \beta_{10} \times \left(\frac{\mu_{no}}{\mu_{m1}} - \operatorname{ctgh} \mu_{m1} \beta_{10} \right) - \sinh \mu_{m1} (\beta_{10} + \beta_{20}) \right] + \\
 & + \sum_{n=1}^{\infty} H_{mn} \sinh \mu_{no} \beta_{20} \left[\sinh \mu_{m1} \beta_{20} \sinh \mu_{m1} \beta_{10} \left(\frac{\mu_{no}}{\mu_{m1}} + \operatorname{ctgh} \mu_{m1} \beta_{20} \right) + \right. \\
 & \left. - \sinh \mu_{m1} (\beta_{10} + \beta_{20}) \right] + 1/Z_{m1} \mu_{m1} I_{nm} \sinh \mu_{m1} \beta_{20} \sinh \mu_{m1} \beta_{10} \} \quad (55)
 \end{aligned}$$

$$\begin{aligned}
 F_{m1} &= - \frac{1}{\sinh \mu_{m1} (\beta_{10} + 2\beta_{20})} \left\{ \sum_{n=1}^{\infty} G_{mn} \cosh \mu_{no} \beta_{20} \right. \\
 & \left[\cosh \mu_{m1} \beta_{20} \sinh \mu_{m1} \beta_{10} \times \left(\frac{\mu_{no}}{\mu_{m1}} - \operatorname{ctgh} \mu_{m1} \beta_{10} \right) + \cosh \mu_{m1} (\beta_{20} - \beta_{10}) \right] + \\
 & + \sum_{n=1}^{\infty} H_{mn} \sinh \mu_{no} \beta_{20} \left[\cosh \mu_{m1} \beta_{20} \sinh \mu_{m1} \beta_{10} \left(\frac{\mu_{no}}{\mu_{m1}} + \operatorname{ctgh} \mu_{m1} \beta_{10} \right) + \right. \\
 & \left. + \cosh \mu_{m1} (\beta_{20} - \beta_{10}) \right] + 1/Z_{m1} \mu_{m1} I_{nm} \cosh \mu_{m1} \beta_{20} \sinh \mu_{m1} \beta_{10} \} \quad (56)
 \end{aligned}$$

$$G_{mn} = \frac{-2 A''_{n2} L_1 - A''_{n2} L_2}{(\mu_{no}^2 - \mu_{m1}^2) Z_{m1}} \quad (57)$$

$$H_{mn} = \frac{-2 B'_{n2} L_1 - B''_{n2} L_2}{(\mu_{no}^2 - \mu_{m1}^2) Z_{m1}} \quad (58)$$

gdzie:

μ_{m1} są pierwiastkami równań (50) dla $n = 1$.

Wartości Z_{m1} określone są przez związek (49) dla $n = 1$,

$$B'_{n2} = \frac{\mu_{no}^2 B_{n2}}{Z_{no}}, \quad B''_{n2} = \frac{\mu_{no} B_{n2}}{Z_{no}},$$

$$I_{nm} = \sum_{n=1}^{\infty} (B''_{n2} \cosh \mu_{no} \beta_{20} - A''_{n2} \sin \mu_{no} \beta_{20}) \times \\ \times \int_0^1 \alpha^2 U_0(\mu_{no} \alpha) U_1(\mu_{m1} \alpha) d\alpha,$$

wyrażenie A'_{n2} , A''_{n2} , L_1 , L_2 są określone odpowiednio przez związki: (26), (32) dla obowiązujących w tym przykładzie wartości μ_{mn} .

5. Uwagi końcowe

Jak już podkreślano, w pracy zajęto się poszukiwaniem jedynie rozwiązania podstawowego i pierwszego przybliżenia. Można więc otrzymane rezultaty stosować do stosunkowo niewielkich zakrzywień rury ($\varepsilon < 0,2$). Poszukiwanie rozwiązań dla drugiego przybliżenia jest oczywiście możliwe, jednak otrzymywane wy-

niki są mocno skomplikowane i praktyczne ich stosowanie jest bardzo utrudnione. W przypadkach gdy rozwiązanie podstawowe jest trywialne trudność otrzymania drugiego przybliżenia jest analogiczną do trudności otrzymania rozpatrywanego w niniejszej pracy pierwszego przybliżenia. W tym przypadku rozwiązania można stosować z dużą dokładnością dla ε nieco większych niż 0,2.

Stosując tą samą metodę można bez większych trudności podać podobne rozwiązania dla innych geometrycznie elementów i innych warunków brzegowych. Metodę zaburzeń może również służyć do określenia wpływu na pola temperatur innego rodzaju zaburzeń kształtu elementu. Problemy te będą rozpatrywane w następujących pracach.

LITERATURA

- [1] LEBIEDIEW N.M.: Funkcje specjalne i ich zastosowania, PWN, Warszawa 1957.
- [2] LYKOW A.B.: Teoria ciepłoprowadności, Wyższaja Szkoła, Moskwa, 1967.
- [3] POŁOŻY G.N. i inni: Metody przybliżonych obliczeń, WNT Warszawa, 1966.
- [4] VAN DYKE M.: Perturbation Methods in Fluid Mechanics, Acad Press., London, New York, 1964.

СТАЦИОНАРНОЕ РАСПРЕДЕЛЕНИЕ ТЕМПЕРАТУР В ТОЛСТОСТЕННЫХ
ТРУБАХ ЛЕГКО ЗАГНУТЫХ

Р е з ю м е

В работе рассмотрено задачу об определении температур в толстостенных легко загнутых. Для решения этой проблемы использовано метод возмущений. Приведится распределения температур для двух разных геометрических конфигураций и для разных граничных условий.

STATIONARY TEMPERATURE DISTRIBUTION IN A THICK-WALLED
NO MUCH CURVED TUBES

S u m m a r y

In this paper a solution of stationary temperature distribution in a thick-walled no much curved tubes have been given. The perturbation method has been employed. The temperature are determined for the different geometrical configurations and different boundary conditions.